

Модел. и анализ информ. систем. Т. 20, № 1 (2013) 30–51
© Глызин С. Д., 2012

УДК 517.9

Размерностные характеристики диффузионного хаоса

Глызин С. Д.¹

Ярославский государственный университет им. П.Г. Демидова
150000 Россия, г. Ярославль, ул. Советская, 14

e-mail: glyzin@uniyar.ac.ru

получена 20 декабря 2012

Ключевые слова: диффузионный хаос, аттрактор, ляпуновская размерность, уравнение Гинзбурга – Ландау, бифуркация, сценарий Ландау – Селла.

Рассматривается феномен многомодового диффузионного хаоса, одним из признаков которого является увеличение ляпуновской размерности аттрактора распределенных эволюционных динамических систем при уменьшении коэффициента диффузии. Для ряда примеров выполнен обширный численный эксперимент, в котором проиллюстрирован этот эффект.

1. Введение

Системы «реакция – диффузия» представляют собой важный класс нелинейных динамических систем, в которых пространственно неоднородные колебательные режимы обусловлены наличием диффузионной составляющей. Такие системы часто встречаются в физических и биохимических приложениях, а также в задачах популяционной биологии.

Рассмотрим параболическую краевую задачу вида

$$\frac{\partial u}{\partial t} = \nu D \Delta u + F(u), \quad \frac{\partial u}{\partial \vec{n}} \Big|_{\partial \Omega} = 0, \quad (1)$$

где Δ – оператор Лапласа; $u \in \mathbb{R}^k$, $k \geq 2$; $D = \text{diag} \{d_1, \dots, d_k\}$, $d_j > 0$, $j = 1, \dots, k$; $\nu > 0$ – параметр, отвечающий за пропорциональное уменьшение коэффициентов диффузии; \vec{n} – внешняя нормаль к достаточно гладкой границе $\partial \Omega$ ограниченной области $\Omega \subset \mathbb{R}^m$, $m \geq 1$; $F(u)$ – гладкая вектор-функция. Эту систему принято называть системой реакция-диффузия, она служит математической моделью многих биофизических и экологических процессов (см., например, [1–3]).

¹Работа выполнена при финансовой поддержке гранта Правительства РФ по постановлению № 220, договор № 11.G34.31.0053 и при поддержке Министерства образования и науки Российской Федерации, соглашения 14.V37.21.0457.

Под термином «диффузионный хаос» будем понимать странный аттрактор краевой задачи (1), нетривиально зависящий от пространственной переменной. В настоящее время существуют две концепции диффузионного хаоса — маломодовый и многомодовый хаос. Первый из них может возникать в системе (1) при «средних» значениях параметра ν , а второй — при $\nu \rightarrow 0$.

Интерес к маломодовому хаосу инициирован известными работами Э. Лоренца [4], а также Д. Рюэля и Ф. Такенса [5], а затем Й. Курамото [6], в которых был поставлен общий вопрос: можно ли связать стохастические режимы в распределенной системе, имеющей бесконечно много степеней свободы, с наличием странного аттрактора в системе небольшого числа обыкновенных дифференциальных уравнений, представляющей упрощенную модель исходной системы. В ряде случаев это действительно удается сделать. Для примера сошлемся на известное уравнение Гинзбурга — Ландау, для которого сформулированный вопрос был решен в работе [2] для некоторых типов краевых условий. Точнее говоря, в [2] численными методами был обнаружен странный аттрактор в трехмерной системе, получающейся из уравнения Гинзбурга — Ландау на отрезке с граничными условиями Неймана в результате двухмодовой галеркинской аппроксимации. Другой пример — анализ странных аттракторов простейших конечно-разностных аппроксимаций краевых задач вида (1) на отрезке (см. [7]).

Многомодовый диффузионный хаос сначала был теоретически описан в статье [8], посвященной исследованию динамики нелинейных осцилляторов, слабо связанных через диффузию, его численный анализ проделан в работах автора [9, 10], из результатов которых вытекает важное следствие: если в системе (1) на отрезке при $\nu \rightarrow 0$ наблюдается диффузионный хаос, то его ляпуновская размерность неограниченно растет. Отметим также численный анализ уравнения Гинзбурга — Ландау, выполненный в [11] для периодических краевых условий.

Для уточнения понятия многомодового диффузионного хаоса воспользуемся формулировками из статьи [12]. Будем предполагать, что отвечающая системе (1) точечная модель, т. е. система обыкновенных дифференциальных уравнений

$$\dot{u} = F(u), \quad (2)$$

имеет экспоненциально орбитально устойчивый цикл

$$u = u_0(t), \quad du_0/dt \neq 0 \quad (3)$$

некоторого периода $T_0 > 0$. Понятно, что такая ситуация является типичной.

Нетрудно заметить, что цикл (3) сохраняется и в распределенной модели (1). Для выявления его свойств устойчивости линеаризуем на нем уравнение из (1) и применим к получившейся линейной краевой задаче метод Фурье по системе собственных функций оператора Лапласа. В результате приходим к системе

$$\dot{h} = [A_0(t) - zD]h, \quad (4)$$

где $A_0(t) = F'(u)|_{u=u_0(t)}$, параметр z принимает дискретные значения $\nu\lambda_k$, $k = 0, 1, \dots$, а $0 = \lambda_0 < \lambda_1 \leq \lambda_2 \leq \dots$ — занумерованные в порядке возрастания собственные значения оператора $-\Delta$ с граничными условиями Неймана.

Всюду ниже для удобства будем считать параметр z в (4) непрерывно меняющимся на полуоси $z \geq 0$. Обозначим, далее, через $\mu_s = \mu_s(z)$, $s = 1, \dots, k$, мультипликаторы системы (4) и положим

$$\alpha(z) = \max_{1 \leq s \leq k} \left\{ \frac{1}{T_0} \operatorname{Re} \ln \mu_s(z) \right\}. \quad (5)$$

Заметим, что всегда $\alpha(0) = 0$, так как при $z = 0$ система (4) (в силу предполагаемой экспоненциальной устойчивости цикла (3) в рамках точечной модели (2)) имеет простой единичный мультипликатор, которому отвечает решение Флоке $h = \dot{u}_0(t)$, а все остальные ее мультипликаторы лежат в круге $\{\mu \in \mathbb{C} : |\mu| < 1\}$.

В дальнейшем нам потребуется следующее определение, аналог которого впервые появился в работе [13].

Определение 1. Будем говорить, что параболическая краевая задача (1) является биологической или принадлежит классу B (имеет многомодовый диффузионный аттрактор), если выполняются следующие ограничения.

а) Соответствующая точечная модель (2) имеет экспоненциально орбитально устойчивый цикл (3).

б) Найдутся такие $0 \leq z_1 < z_2$, что функция (5) строго положительна на интервале $z_1 < z < z_2$.

в) При всех достаточно малых $\nu > 0$ динамическая система, порождаемая краевой задачей (1) в фазовом пространстве $C(\bar{\Omega}; \mathbb{R}^k)$, $\bar{\Omega} = \Omega \cup \partial\Omega$, имеет хаотический аттрактор A_ν , ляпуновская размерность $d_L(A_\nu)$ которого стремится к $+\infty$ при $\nu \rightarrow 0$.

Как уже отмечалось выше, условие а) типично для краевых задач вида (1), возникающих в различных биофизических и экологических приложениях (отсюда, собственно, и появился сам термин "биологическая система"). Требование $\alpha(z) > 0$ при $z \in (z_1, z_2)$, фигурирующее в условии б), обеспечивает неустойчивость цикла (3) в рамках распределенной модели (1) при всех достаточно малых значениях параметра ν . Что же касается условия в), являющегося самым главным из всех трех, то оно гарантирует реализуемость при $\nu \rightarrow 0$ интересующего нас феномена многомодового диффузионного хаоса. В связи с этим уместно подчеркнуть, что термин "хаотический аттрактор" допускает различные интерпретации. Мы же для определенности будем придерживаться понятия хаоса, предложенного в [14]. Отметим, что упомянутую в условии в) ляпуновскую размерность $d_L(A_\nu)$ будем вычислять через характеристические показатели аттрактора A_ν по известной формуле Каплана – Йорке [15]. Опираясь на определение 1, нетрудно сформулировать концепцию диффузионного хаоса, которая заключается в следующем утверждении (см. [12]).

Гипотеза (о диффузионном хаосе). Класс B параболических систем (1) не пуст.

Приведенная гипотеза очевидным образом перекликается с известными гипотезами А.Н. Колмогорова о росте размерности аттракторов уравнений Навье – Стокса при увеличении числа Рейнольдса (см., например, [17]). Кроме того, прослеживается очевидная параллель между условием в) и сценарием развития турбулентности по Ландау – Селлу, математические аспекты которого изложены в [16, 18].

Достаточно ясно, что обоснование гипотезы о диффузионном хаосе возможно лишь с помощью численного анализа каких-либо конкретных параболических си-

стем вида (1). В связи с этим в первой части работы рассмотрено уравнение Гинзбурга – Ландау на отрезке для двух различных значений параметров. Во второй части исследована система, моделирующая реакцию Белоусова, а в третьей части представлен расширенный численный эксперимент, выполненный для уравнения Клейна – Гордона, на основе которого в статье [18] иллюстрировалась реализуемость сценария Ландау – Селла.

2. Ляпуновская размерность разностных аппроксимаций уравнения Гинзбурга – Ландау

В данной части работы рассмотрим известное уравнение Гинзбурга – Ландау на отрезке $0 \leq x \leq 1$, а точнее говоря, будем численно анализировать соответствующую ему краевую задачу

$$w_t = \nu(1 - ic_1)w_{xx} + w - (1 + ic_2)|w|^2w, \quad w_x|_{x=0} = w_x|_{x=1} = 0, \quad (6)$$

где $w = w(t, x)$ – комплекснозначная функция, ν, c_1, c_2 – положительные параметры. Убедимся, далее, что при выполнении условия

$$c_1c_2 > 1 \quad (7)$$

указанная параболическая система принадлежит классу B . Проверка условий а), б) не вызывает затруднений. В самом деле, пространственно однородный (не зависящий от x) цикл задачи (6) задается равенством

$$w = \exp(-ic_2t) \quad (8)$$

и является экспоненциально орбитально устойчивым в рамках соответствующей точечной модели. Что же касается устойчивости цикла (8) в рамках распределенной модели (6), то она определяется по следующему правилу. Сначала дополним уравнение из (6) комплексно сопряженным уравнением, а затем, считая w, \bar{w} независимыми комплекснозначными функциями, выполним в получившейся системе замены $w = \exp(-ic_2t)(1 + h_1), \bar{w} = \exp(ic_2t)(1 + h_2)$ и отбросим нелинейные по h_1, h_2 слагаемые. На этом пути приходим к линейной краевой задаче

$$\begin{aligned} \frac{\partial h_1}{\partial t} &= \nu(1 - ic_1)\frac{\partial^2 h_1}{\partial x^2} - (1 + ic_2)(h_1 + h_2), & \frac{\partial h_2}{\partial t} &= \nu(1 + ic_1)\frac{\partial^2 h_2}{\partial x^2} - (1 - ic_2)(h_1 + h_2), \\ \frac{\partial h_j}{\partial x} \Big|_{x=0} &= \frac{\partial h_j}{\partial x} \Big|_{x=1} = 0, & j &= 1, 2, \end{aligned}$$

к которой, в свою очередь, применяем метод Фурье по системе функций $\cos k\pi x$, $k \in \mathbb{N} \cup \{0\}$. В результате убеждаемся, что за устойчивость однородного цикла (8) по отношению к пространственно неоднородным возмущениям начальных условий отвечает расположение спектра семейства матриц

$$- \begin{pmatrix} 1 + ic_2 & 1 + ic_2 \\ 1 - ic_2 & 1 - ic_2 \end{pmatrix} - k^2\pi^2\nu \begin{pmatrix} 1 - ic_1 & 0 \\ 0 & 1 + ic_1 \end{pmatrix}, \quad k = 1, 2, \dots \quad (9)$$

И наконец, анализ матриц (9) с учетом условия (7) приводит к выводу, что цикл (8) устойчив (неустойчив) в рамках краевой задачи (6) при $\nu - \nu_* > 0$ (< 0), где

$$\nu_* = \frac{2(c_1 c_2 - 1)}{\pi^2(1 + c_1^2)} > 0. \quad (10)$$

Проверку справедливости условия в) для краевой задачи (6) будем проводить посредством численного анализа при конкретных значениях параметров c_1, c_2 .

Для описания соответствующего численного эксперимента введем в рассмотрение точки $x = (j - 1/2)/N$, $j = 1, 2, \dots, N$, где N – произвольно фиксированное натуральное число, и заменим в (6) частную производную по x в указанных точках приближенными равенствами

$$w_{xx}(t, x)|_{x=(j-1/2)/N} \approx N^2(w_{j+1}(t) - 2w_j(t) + w_{j-1}(t)), \quad w_j(t) = w(t, x)|_{x=(j-1/2)/N}, \quad (11)$$

считая, что $w_0(t) = w_1(t)$, $w_{N+1}(t) = w_N(t)$. В результате для переменных $w_j(t)$ приходим к конечномерной модели вида

$$\dot{w}_j = \nu N^2(1 - ic_1)(w_{j+1} - 2w_j + w_{j-1}) + w_j - (1 + ic_2)|w_j|^2 w_j, \quad j = 1, \dots, N. \quad (12)$$

Интересно отметить, что для системы (12) сохраняется унаследованная от краевой задачи (6) симметрия, состоящая в ее инвариантности относительно замены

$$w_j \rightarrow w_{N-j+1}, \quad j = 1, \dots, N. \quad (13)$$

Кроме того, эта система, как и исходная задача (6), допускает пространственно однородный или, точнее говоря, синхронный цикл

$$w_1 = w_2 = \dots = w_N = \exp(-ic_2 t). \quad (14)$$

Добавим еще, что цикл (14) экспоненциально орбитально устойчив (неустойчив) при $\nu - \nu_*(N) > 0$ (< 0), где для критического значения $\nu_*(N)$ справедлива формула

$$\nu_*(N) = \frac{c_1 c_2 - 1}{2(1 + c_1^2)N^2 \sin^2(\pi/(2N))}, \quad (15)$$

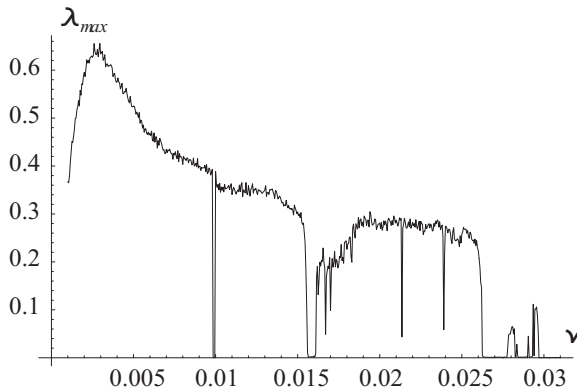
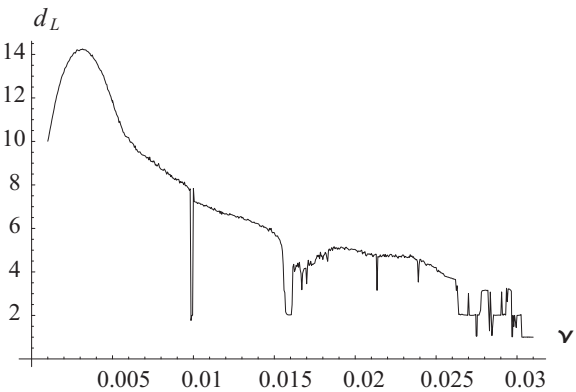
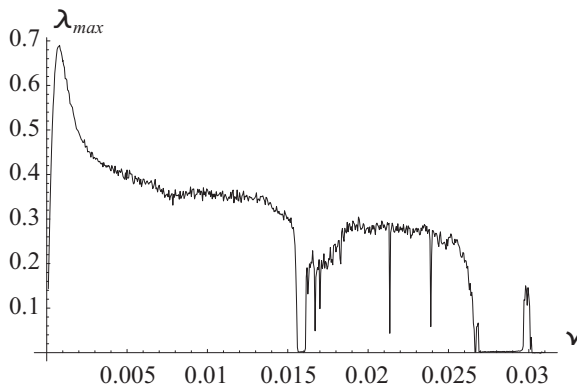
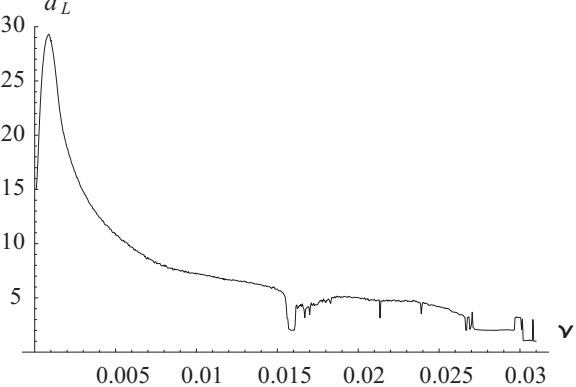
причем очевидным образом $\nu_*(N) \rightarrow \nu_*$ при $N \rightarrow \infty$. Обратимся теперь непосредственно к результатам компьютерного анализа системы (12).

1. Случай $c_1 = 0.5$, $c_2 = 8$

В статье [10] уже рассматривалась краевая задача (6) при значениях параметров $c_1 = 0.5$, $c_2 = 8$, однако ограниченность вычислительных средств не позволила в этой работе провести более масштабный вычислительный эксперимент. В данном разделе приводятся результаты существенно более подробных вычислений, восполняющие этот недостаток.

Опишем сначала простейшие фазовые перестройки, происходящие с системой (6) при уменьшении коэффициента диффузии ν . Напомним, что синхронный цикл (14) системы (11) глобально экспоненциально орбитально устойчив при $\nu > \nu_*(N)$. В описываемом случае вычисленное по формуле (10) критическое значение $\nu_* \approx$

0.48634, в то же время, вычисляя по формуле (15) $\nu_*(20)$, имеем приближенно 0.48734. Нетрудно видеть, что величины ν_* и $\nu_*(20)$ отличаются друг от друга лишь в третьем знаке после точки. Это означает, что при ν близких к ν_* разностная модель (11) вполне адекватно описывает краевую задачу (6). Уменьшение величины $\nu < \nu_*(N)$ приводит к появлению в результате бифуркации типа вилки пары орбитально асимптотически устойчивых симметричных друг другу в смысле замены (13) пространственно неоднородных циклов. Дальнейшие фазовые перестройки системы (11) можно проследить лишь численными методами, к обзору результатов которых мы и переходим.

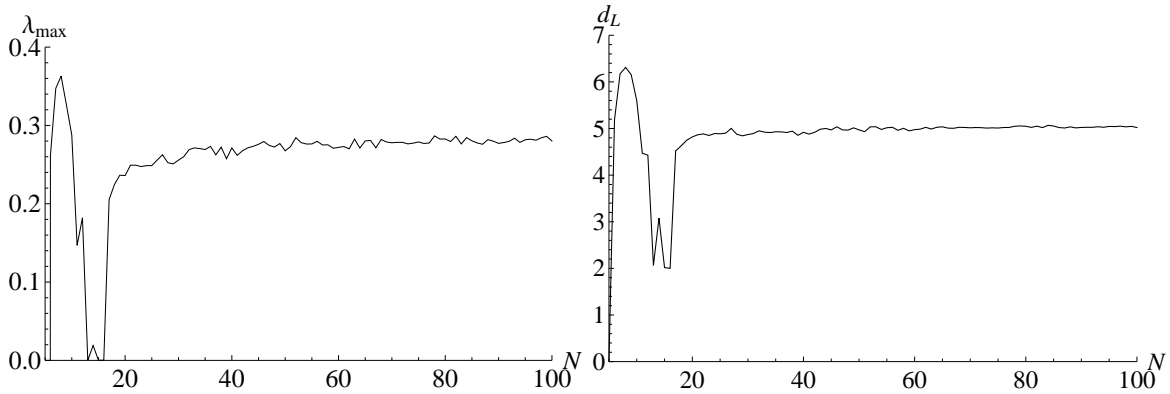
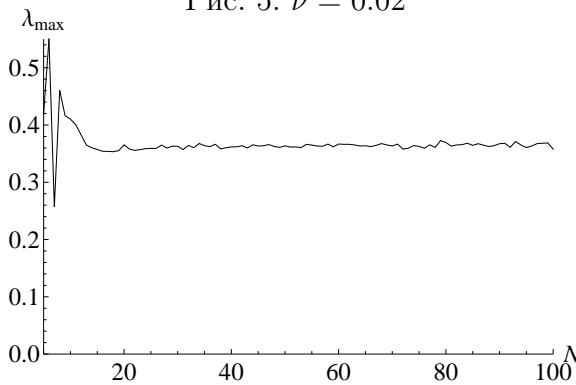
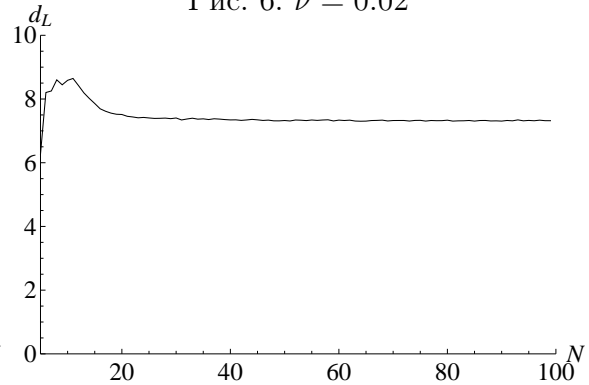
Рис. 1. $N = 10$ Рис. 2. $N = 10$ Рис. 3. $N = 20$ Рис. 4. $N = 20$

Симметричные циклы, возникшие в результате потери устойчивости однородного режима, остаются аттракторами системы (11) вплоть до значения $\nu \approx 0.1183$ (вычислено для $N = 20$), при котором они объединяются в один самосимметричный пространственно неоднородный цикл. Затем при $\nu \approx 0.0351$ этот цикл теряет устойчивость и от него ответвляется пара симметричных друг другу устойчивых циклов. Эти циклы колебательным образом теряют устойчивость при $\nu \approx 0.0338$ ($N = 20$), в результате чего возникает два устойчивых двумерных инвариантных тора. Устойчивыми движениями на полученных торах могут быть как квазипериодические, так и периодические колебания. Наконец, при $\nu \approx 0.033$ ($N = 20$) торы разрушаются и возникают хаотические колебания.

Для $N = 10$ и $N = 20$ на промежутке изменения ν от 0.03 до нуля с шагом 0.0005 был вычислен спектр ляпуновских экспонент и на их основе ляпуновская размерность аттрактора $A_\nu(N)$ системы (11). На рис. 1, 2 представлены графики

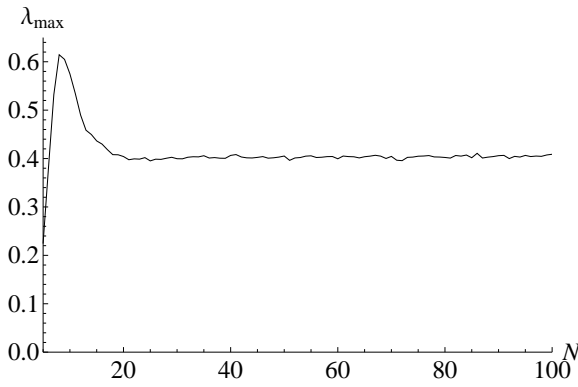
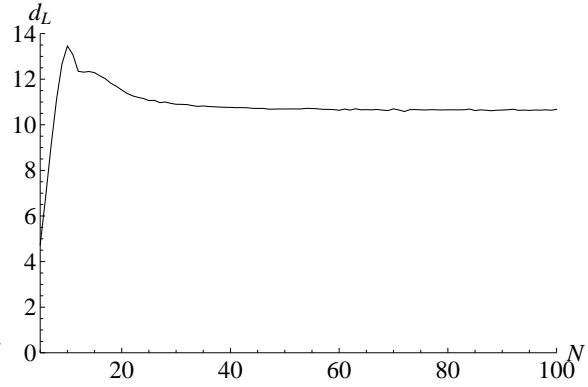
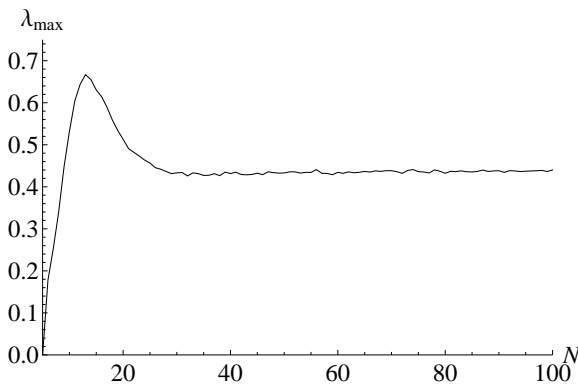
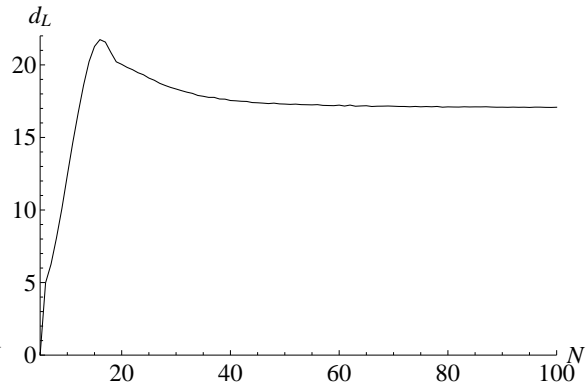
зависимости от ν старшего ляпуновского показателя $\lambda_{max}(A_\nu(N))$ и ляпуновской размерности $d_L(A_\nu(N))$ при $N = 10$, а на рис. 3, 4 — при $N = 20$.

На промежутке изменения ν от 0.03 до примерно 0.015 графики зависимостей имеют многочисленные провалы, соответствующие окнам периодичности или квазипериодичности, значение λ_{max} при этом обращается в нуль, а d_L принимается равным единице в случае циклов и двум в случае двумерных торов.

Рис. 5. $\nu = 0.02$ Рис. 6. $\nu = 0.02$ Рис. 7. $\nu = 0.01$ Рис. 8. $\nu = 0.01$

Зависимость $d_L(A_\nu(N))$ от ν при $0.003 < \nu < 0.01$ для $N = 10$ и при $0.001 < \nu < 0.015$ для $N = 20$ близка к гиперболической, причем выбор ν левее указанных промежутков приводит к тому, что система (11) для соответствующего N уже не может адекватно описывать исходную краевую задачу (6). Отметим, что при $N = 20$, как и следовало ожидать, промежуток близкого к гиперболическому изменения величины $d_L(A_\nu(N))$ шире, чем при $N = 10$. Максимальное значение размерности аттрактора достигается при $N = 10$ в точке $\nu \approx 0.00305$ и приблизительно равно 14.23, а при $N = 20$ — в точке $\nu \approx 0.00085$ и $d_L \approx 29.32$.

Для того, чтобы убедиться в том, что при фиксированном ν с ростом N разностные модели (11) имеют аттракторы с близкими показателями, были выполнены расчеты при $\nu = 0.02, 0.01, 0.005, 0.002$ и изменении величины N от 5 до 100. На рис. 5–12 представлены графики зависимостей $\lambda_{max}(A_\nu(N))$ и $d_L(A_\nu(N))$. Нетрудно видеть, что увеличение N приводит к стабилизации величин $\lambda_{max}(A_\nu(N))$ и $d_L(A_\nu(N))$. При этом меньшим значениям параметра ν соответствуют большие предельные значения оцениваемых величин.

Рис. 9. $\nu = 0.005$ Рис. 10. $\nu = 0.005$ Рис. 11. $\nu = 0.002$ Рис. 12. $\nu = 0.002$

Для того чтобы проиллюстрировать усложнение хаотических режимов при уменьшении ν на рис. 13 и 14 приведены графики вещественных и мнимых частей функции $w(t, x)$ при фиксированном t . Представленные графики показывают, что меньшему значению ν соответствует существенно более изрезанный (многомодовый) вид пространственного распределения решения.

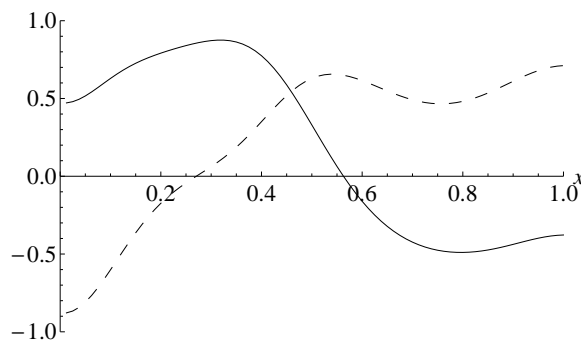
2. Случай коэффициентов, соответствующих разностной модели уравнения Хатчинсона

Вторым примером задачи, обладающей многомодовым диффузионным хаосом, является разностная модель уравнения Хатчинсона с диффузией. В статье [12] крайняя задача

$$\frac{\partial \mathcal{N}}{\partial t} = D \frac{\partial^2 \mathcal{N}}{\partial x^2} + r[1 - \mathcal{N}(t-1, x)]\mathcal{N}, \quad \frac{\partial \mathcal{N}}{\partial x} \Big|_{x=0} = \frac{\partial \mathcal{N}}{\partial x} \Big|_{x=\pi} = 0 \quad (16)$$

на отрезке $0 \leq x \leq \pi$, получающаяся из стандартного уравнения Хатчинсона при учете диффузионного слагаемого $D \partial^2 \mathcal{N} / \partial x^2$, $D = \text{const} > 0$, заменялась при достаточно малом D разностным аналогом

$$u_{n+1,j} = (d u_{n,j+1} + (1-2d)u_{n,j} + d u_{n,j-1}) \exp \left[\frac{r}{k} (1 - u_{n-k,j}) \right], \quad n \geq 0, \quad j=1, \dots, N, \quad (17)$$



Вещественная — сплошная и мнимая — пунктирная линия графиков функции $w(t, x)$ при фиксированном t

Рис. 13. $N = 100, \nu = 0.02$

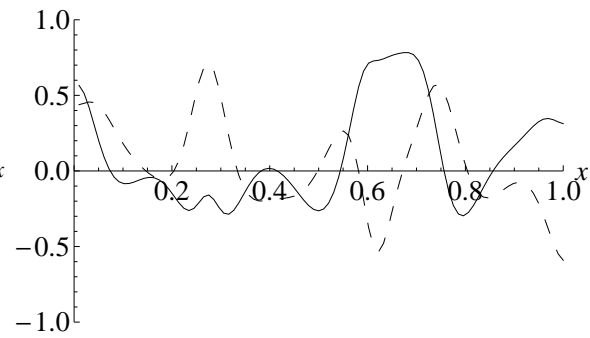


Рис. 14. $N = 100, \nu = 0.002$

где $d = N^2 D / (k\pi^2)$, $u_{n,0} = u_{n,1}$, $u_{n,N+1} = u_{n,N}$, а целые $k \geq 2$ и N определяют число точек разбиения по временной и пространственной переменным соответственно.

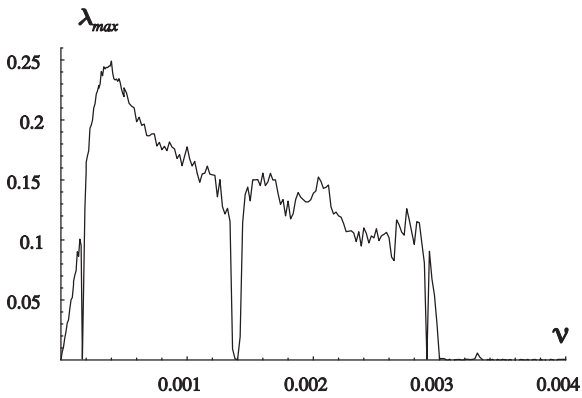
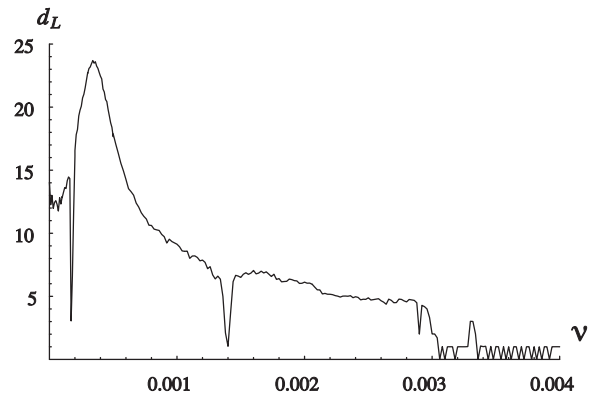
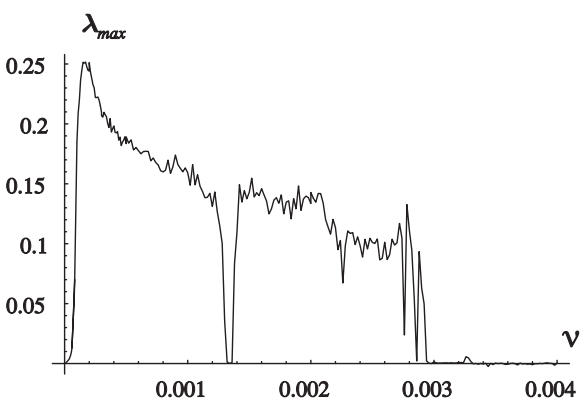
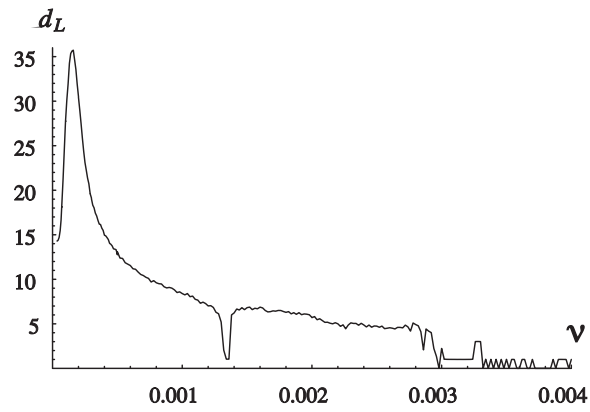
При некоторых дополнительных предположениях, не относящихся к теме настоящей статьи, в работе [12] система (17) сводится к задаче (12) при значениях параметров

$$c_1 = 4.129145761413521, \quad c_2 = 1.205298342698789. \quad (18)$$

Сразу отметим, что сценарий фазовых перестроек, полученный в предыдущем пункте, сохраняется и здесь. В частности, если выполнено (18), то $\nu_* \approx 0.044647$, а $\nu_*(20) \approx 0.044739$. При уменьшении параметра ν и при прохождении его через критическое значение (15) от однородного цикла (14) ответвляется пара симметричных орбитально устойчивых пространственно неоднородных циклов (бифуркация типа вилки). Последующее же уменьшение ν приводит к постепенному усложнению динамики и к появлению хаотических колебаний. Наглядное представление об этом процессе дают графики по ν старшего ляпуновского показателя $\lambda_{\max}(A_\nu(N))$ и ляпуновской размерности $d_L(A_\nu(N))$ аттрактора $A_\nu(N)$ системы (12). Построение этих графиков проводилось при $N = 20$ и $N = 30$ на промежутке $0 \leq \nu \leq 0.004$ по точкам с шагом 0.00001, а сами они представлены на рис. 15 – 18.

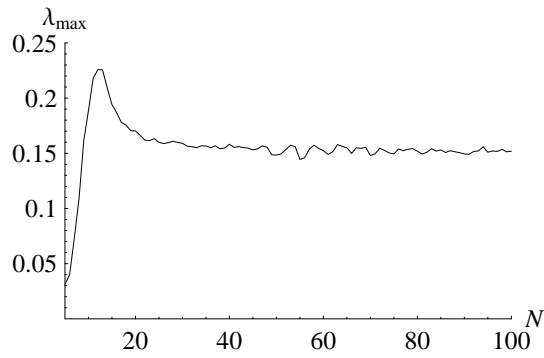
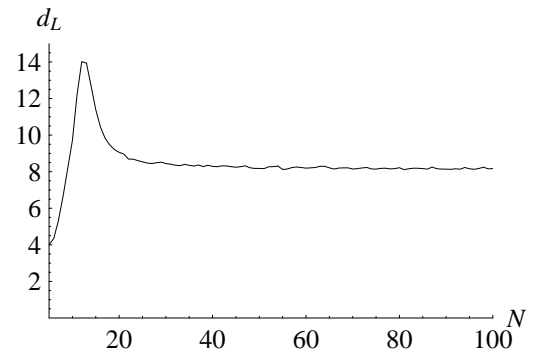
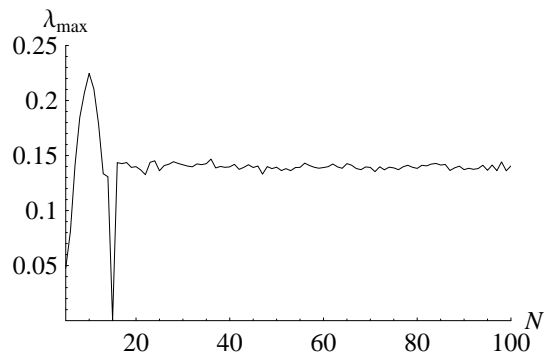
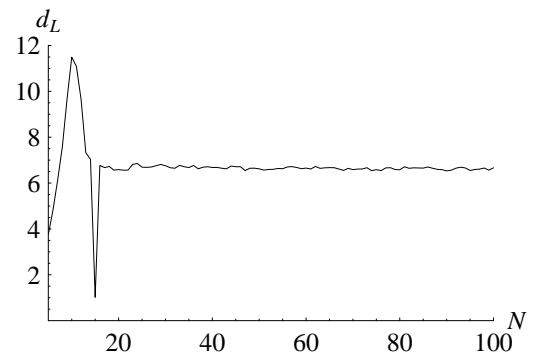
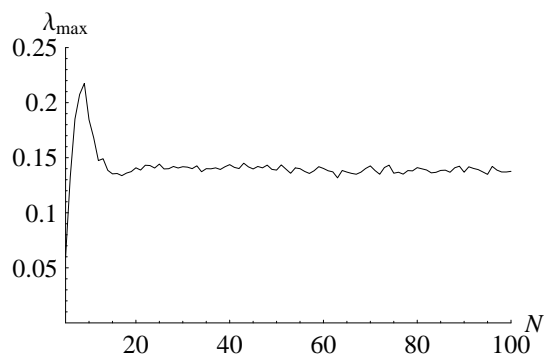
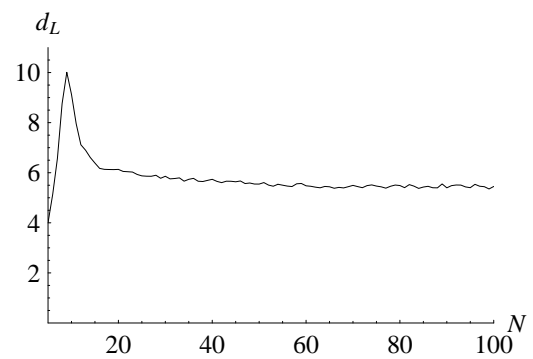
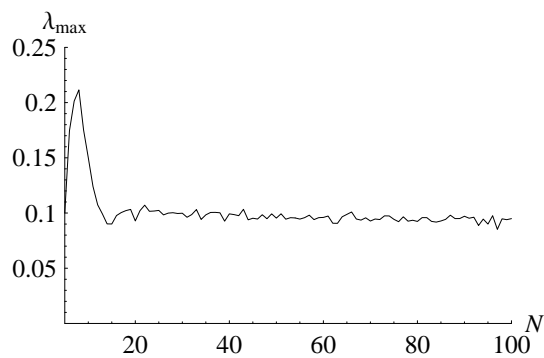
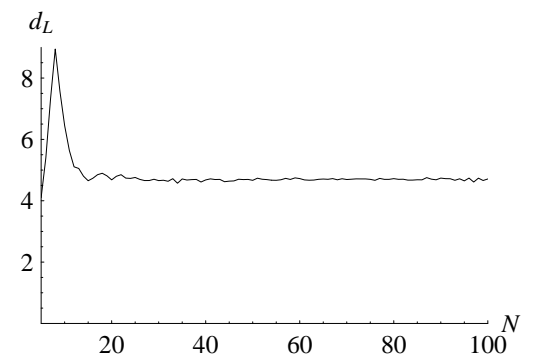
Далее убедимся, что с ростом N аттрактор $A_\nu(N)$ модели (12) в определенном смысле сходится к аттрактору A_ν краевой задачи (6). Действительно, численные расчеты для фиксированных ν показывают, что при увеличении N происходит стабилизация величин $\lambda_{\max}(A_\nu(N))$ и $d_L(A_\nu(N))$. На рис. 19 – 26 изображены графики их зависимости от N при $\nu = 0.001, 0.0025, 0.002, 0.0015$. Существенным здесь оказывается то, что меньшим значениям параметра ν соответствуют большие предельные значения $d_L(A_\nu(N))$. Отметим, что и в данном случае сравнение представленных на рис. 27, 28 графиков вещественных и мнимых частей функции $w(t, x)$ при фиксированном t показывает, что меньшему значению ν соответствует существенно более изрезанный (многомодовый) вид пространственного распределения решения.

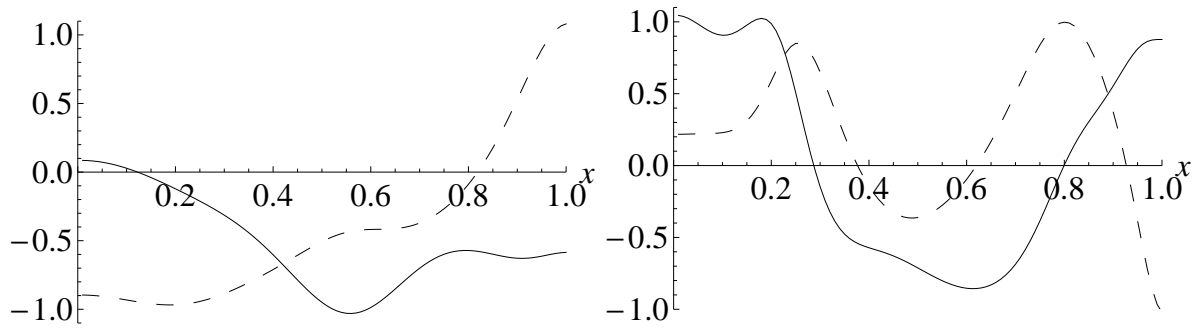
Таким образом, на основании всей совокупности проделанных численных исследований мы можем утверждать, что при $\nu \rightarrow 0$ размерность $d_L(A_\nu)$ хаотического аттрактора A_ν краевой задачи (6) неограниченно растет. А это, собственно, и означает, что при условиях (18) рассматриваемая задача принадлежит классу B .

Рис. 15. $N=20$ Рис. 16. $N=20$ Рис. 17. $N=30$ Рис. 18. $N=30$

Коротко остановимся на применяемых численных методах и точности вычислений. Для решения систем обыкновенных дифференциальных уравнений (11) использовались методы Рунге – Кутты в их реализации Дорманда и Принса (8.3) [19] с контролем точности на шаге, шаг при этом был ограничен сверху величиной 0.001. Для оценки ляпуновских экспонент использовался стандартный метод Беннетина (см. [20,21]) и метод динамической перенормировки [22]. Продолжительность вычислений в численном эксперименте с фиксированным N и различными ν выбиралась равной $5000 \cdot T$ (T — среднее расстояние между максимумами компонент решения системы (11)) так, что среднее квадратичное уклонение всех ляпуновских показателей, вычисленное по последней тысяче отсчетов, оказывалось меньше 10^{-3} . Во втором эксперименте вычисления производились на промежутке $10000 \cdot T$, соответственно отклонение показателей от среднего оказалось меньше 10^{-4} .

Предпринятый выше анализ свидетельствует о том, что система (12) при фиксированном $\nu > 0$ и при всех достаточно больших N представляет собой вполне адекватную конечномерную модель диффузионного хаоса, хорошо отражающую как качественные, так и количественные его характеристики. С уменьшением ν стабилизация величин $\lambda_{\max}(A_\nu(N))$ и $d_L(A_\nu(N))$ происходит при все больших значениях N . Если же N фиксировано, а ν достаточно мало, то динамические свойства разностной модели (12), в принципе, уже не имеют никакого отношения к свойствам исходной системы (6). В частности, именно этим обстоятельством обусловлены ”провалы” графиков $\lambda_{\max}(A_\nu(N))$ и $d_L(A_\nu(N))$ при малых ν .

Рис. 19. $\nu=0.001$ Рис. 20. $\nu=0.001$ Рис. 21. $\nu=0.0015$ Рис. 22. $\nu=0.0015$ Рис. 23. $\nu=0.002$ Рис. 24. $\nu=0.002$ Рис. 25. $\nu=0.0025$ Рис. 26. $\nu=0.0025$



Вещественная — сплошная и мнимая — пунктирная линия графиков функции $w(t, x)$ при фиксированном t

Рис. 27. $N = 100$, $\nu = 0.0025$

Рис. 28. $N = 100$, $\nu = 0.001$

3. Диффузионный хаос в модели Белоусова

В этом разделе рассмотрим распределенную модель реакции Белоусова, предложенную в работе [23] (см. также [24]),

$$\begin{aligned}
 \frac{\partial x}{\partial t} &= D_1 \frac{\partial^2 x}{\partial s^2} + r_1[1 + a(1 - z) - x]x, & \frac{\partial x}{\partial s} \Big|_{s=0} &= \frac{\partial x}{\partial s} \Big|_{s=1} = 0, \\
 \frac{\partial y}{\partial t} &= D_2 \frac{\partial^2 y}{\partial s^2} + r_2[x - y]y, & \frac{\partial y}{\partial s} \Big|_{s=0} &= \frac{\partial y}{\partial s} \Big|_{s=1} = 0, \\
 \frac{\partial z}{\partial t} &= D_3 \frac{\partial^2 z}{\partial s^2} + r_3[\alpha x + (1 - \alpha)y - z]z, & \frac{\partial z}{\partial s} \Big|_{s=0} &= \frac{\partial z}{\partial s} \Big|_{s=1} = 0.
 \end{aligned} \tag{19}$$

Здесь $0 \leq s \leq 1$, D_j , $j = 1, 2, 3$ — некоторые положительные параметры, пропорциональные одному параметру $d > 0$. Точнее говоря, положим в (19)

$$\begin{aligned}
 (D_1, D_2, D_3) &= d(D_1^0, D_2^0, D_3^0), \quad D_1^0 = 0.01, \quad D_2^0 = 0.08, \quad D_3^0 = 0.01; \\
 r_1 &= 1, \quad r_2 = 2, \quad r_3 = 3, \quad \alpha = 0.2, \quad a = 100
 \end{aligned} \tag{20}$$

и будем интересоваться аттракторами получившейся краевой задачи, возникающими в ее фазовом пространстве $(x, y, z) \in C([0, 1]; \mathbb{R}^3)$ при уменьшении d .

Для решения поставленной проблемы выполним в (19) стандартную дискретизацию. В связи с этим фиксируем произвольно натуральное N и в точках $s = (j - 1/2)/N$, $j = 1, 2, \dots, N$ заменим частные производные по s соответствующими разностными операторами. В результате приходим к системе

$$\begin{aligned}
 \dot{x}_j &= dD_1^0 N^2 (x_{j+1} - 2x_j + x_{j-1}) + r_1[1 + a(1 - z_j) - x_j]x_j, \\
 \dot{y}_j &= dD_2^0 N^2 (y_{j+1} - 2y_j + y_{j-1}) + r_2[x_j - y_j]y_j, \\
 \dot{z}_j &= dD_3^0 N^2 (z_{j+1} - 2z_j + z_{j-1}) + r_3[\alpha x_j + (1 - \alpha)y_j - z_j]z_j,
 \end{aligned} \tag{21}$$

где $x_j(t) = x(t, s)|_{s=(j-1/2)/N}$, $y_j(t) = y(t, s)|_{s=(j-1/2)/N}$, $z_j(t) = z(t, s)|_{s=(j-1/2)/N}$, $j = 1, \dots, N$, причем $x_0 = x_1$, $y_0 = y_1$, $z_0 = z_1$, $x_{N+1} = x_N$, $y_{N+1} = y_N$, $z_{N+1} = z_N$.

При интерпретации численных экспериментов, проводившихся для системы (21) при условиях (20) и при различных значениях d , N , как и в предыдущем пункте,

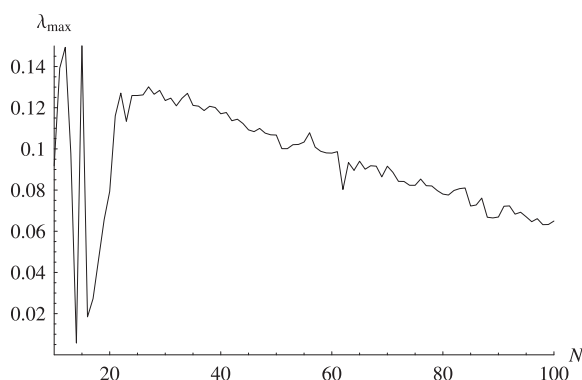


Рис. 29.

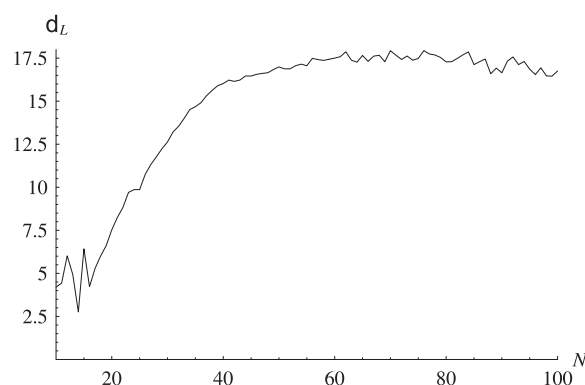


Рис. 30.

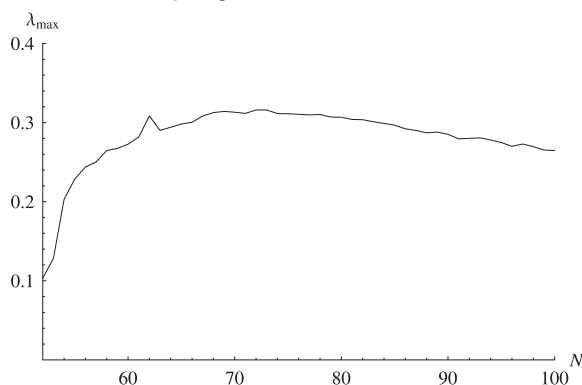


Рис. 31.

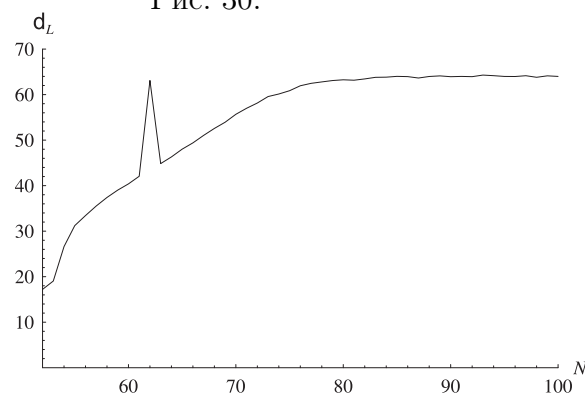


Рис. 32.

будем пользоваться понятием вероятностного аттрактора (см. [25]). В данном случае вероятностным аттрактором $A_d(N) \subset \mathbb{R}^{3N}$ системы (21) назовем наименьшее замкнутое множество, содержащее ω -предельные множества ее траекторий для почти всех (в смысле меры Лебега) начальных условий из конуса $\mathcal{K} \subset \mathbb{R}^{3N}$ векторов с неотрицательными координатами. Нас будут интересовать такие характеристики инвариантного множества $A_d(N)$, как ляпуновская размерность $d_L(A_d(N))$ и старший ляпуновский показатель $\lambda_{\max}(A_d(N))$.

Обратимся сначала к серии численных расчетов по выявлению зависимости величин $d_L(A_d(N))$ и $\lambda_{\max}(A_d(N))$ от N . Соответствующий анализ был выполнен при $d = 0.002$, а его результаты представлены на рис. 29 – 32. Поясним приведенные рисунки. Как оказывается, при $N \geq 52$ аттрактор $A_d(N)$ состоит по крайней мере из двух непересекающихся компонент $A_d^{(1)}(N)$ и $A_d^{(2)}(N)$, которым соответствуют различные наборы ляпуновских показателей. В связи с этим вычисление величин d_L и λ_{\max} проводилось отдельно для каждой компоненты. В случае $A_d^{(1)}(N)$ графики d_L , λ_{\max} показаны на рис. 29, 30, а в случае $A_d^{(2)}(N)$ – на рис. 31, 32. Добавим еще, что аналог компоненты $A_d^{(1)}(N)$ существует и при $10 \leq N \leq 52$. Поэтому для $A_d^{(1)}(N)$ соответствующие графики удалось построить при $10 \leq N \leq 100$, а для $A_d^{(2)}(N)$ – только на отрезке $52 \leq N \leq 100$.

Качественное различие между аттракторами $A_d^{(1)}(N)$ и $A_d^{(2)}(N)$ иллюстрируют рис. 33 – 35, где под буквой а) изображены графики компонент $x(t, s)$, $y(t, s)$, $z(t, s)$ решения краевой задачи (19) при фиксированном t , построенные по точкам $(x_j(t)$,

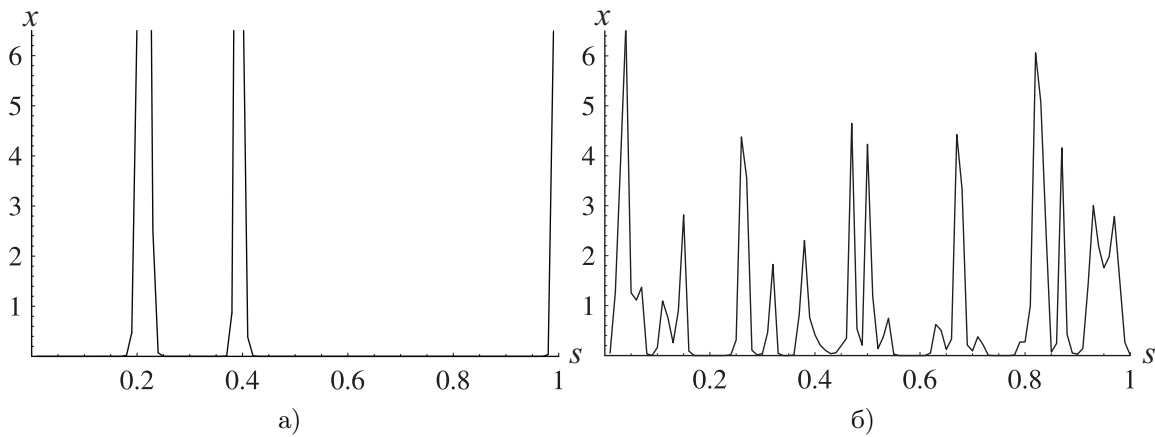


Рис. 33.

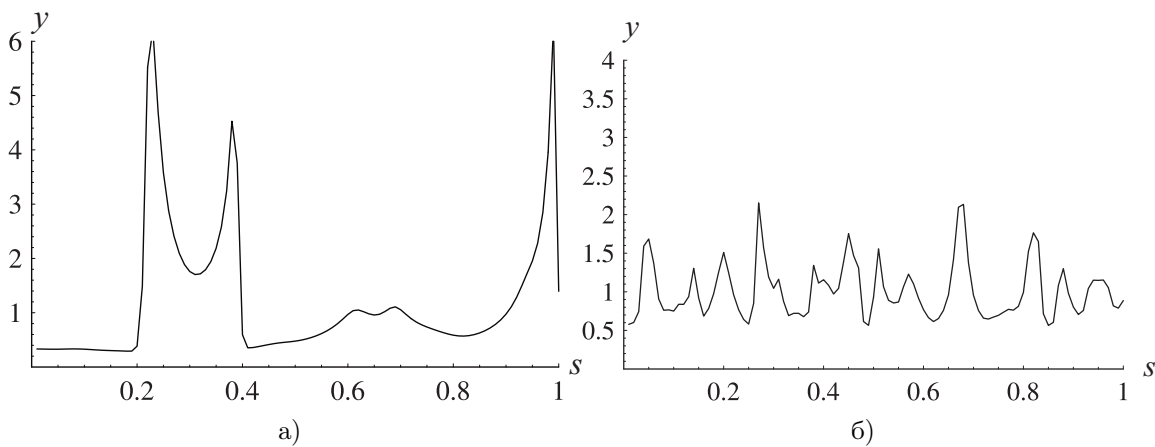


Рис. 34.

$y_j(t), z_j(t), s = (j-1/2)/N, j = 1, \dots, N$ при $N = 100, d = 0.002$ для случая $A_d^{(1)}(N)$, а под буквой б) – аналогичные графики, соответствующие случаю $A_d^{(2)}(N)$.

Основная особенность аттрактора $A_d^{(1)}(N)$ заключается в том, что его компоненты $x_j(t)$ по своим свойствам близки к компоненте $x(t)$ релаксационного цикла точечной системы, получающейся из (19) при $d = 0$ (асимптотики приведены в [23]). Все они почти одновременно становятся величинами порядка $10^{-10} - 10^{-20}$, остаются таковыми некоторое конечное время, а затем с ними происходят всплески δ -образного характера (см. рис. 33 а). В случае же $A_d^{(2)}(N)$ ситуация принципиально меняется: по сравнению с $A_d^{(1)}(N)$ уменьшаются величины всплесков компонент $x_j(t)$ и увеличиваются их минимумы (см. рис. 33 б). В связи с этим аттрактор $A_d^{(1)}(N)$ назван в [23] релаксационным хаосом, а аттрактор $A_d^{(2)}(N)$ – хаосом типа самоорганизации.

Отдельно остановимся на вопросе о том, какие выводы из проделанного численного анализа можно сделать об аттракторах распределенной модели (19) при условиях (20) и при $d = 0.002$. Изображенные на рис. 31, 32 графики позволяют заключить, что при $N \rightarrow \infty$ величины $d_L(A_d^{(2)}(N))$ и $\lambda_{\max}(A_d^{(2)}(N))$ стремятся к некоторым конечным положительным пределам. Тем самым, есть все основания ожидать, что краевая задача (19) имеет хаотический аттрактор $A^{(2)} = \lim_{N \rightarrow \infty} A_d^{(2)}(N)$, который, как и аттрактор $A_d^{(2)}(N)$, уместно назвать хаосом типа самоорганизации.

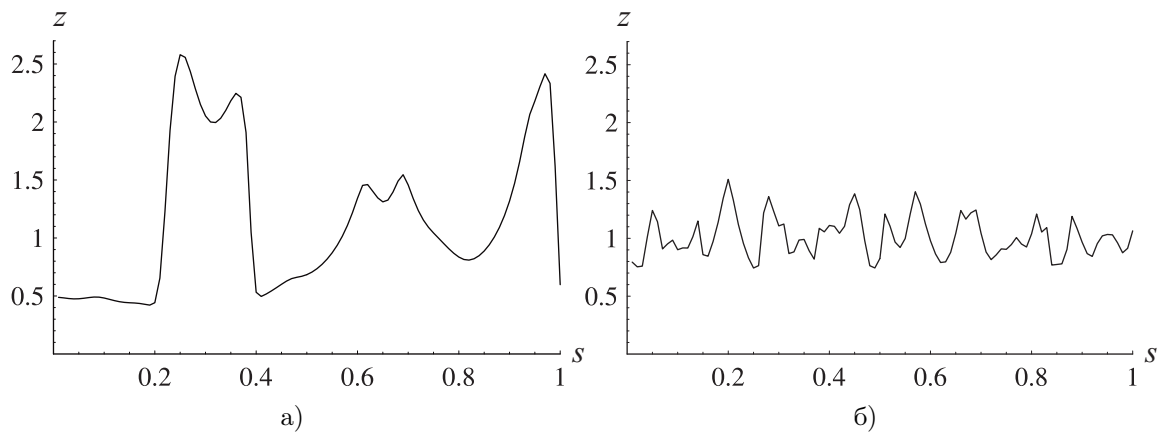


Рис. 35.

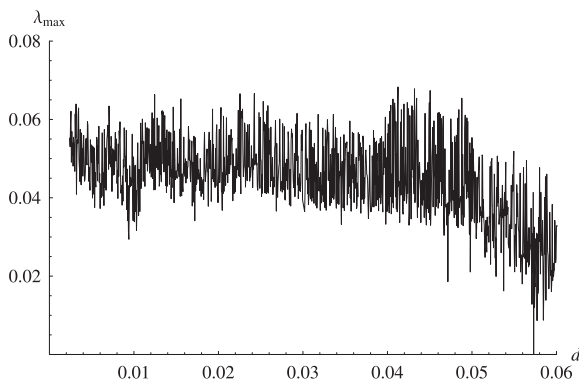
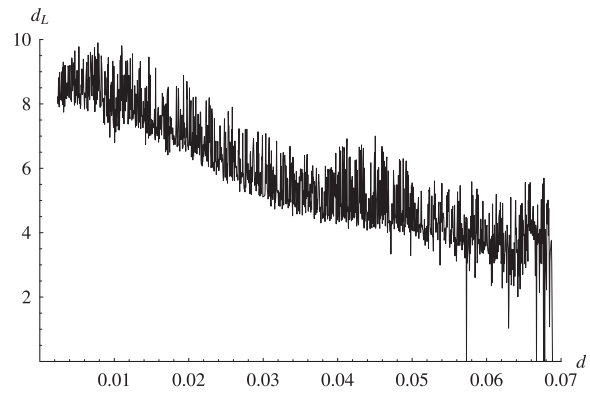
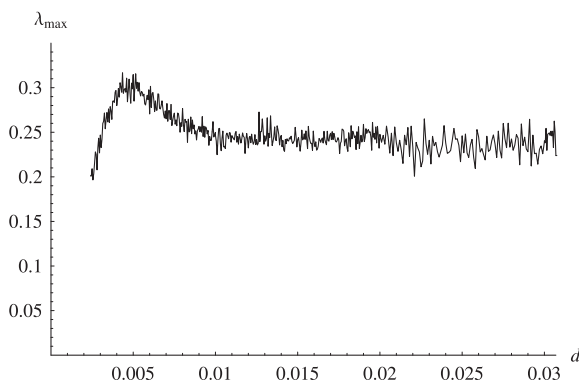
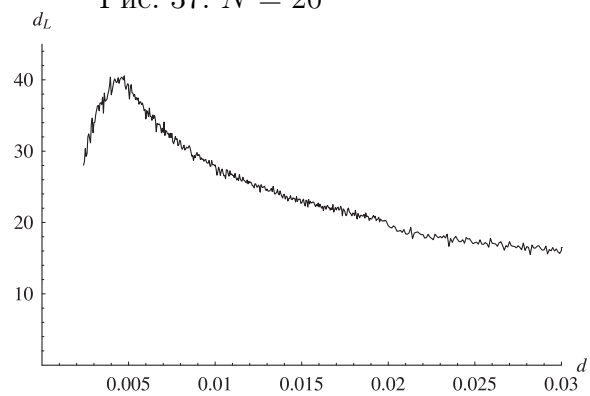
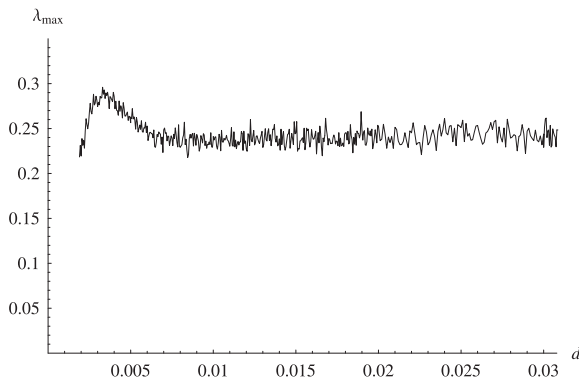
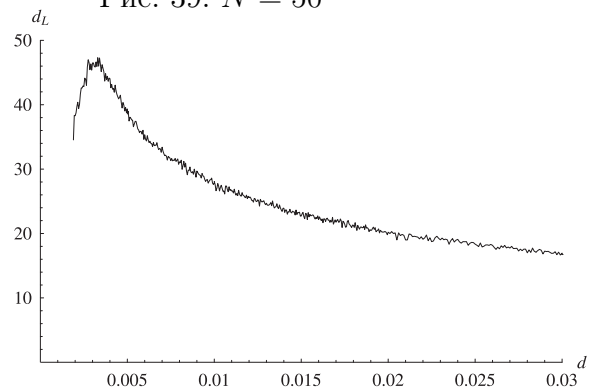
В случае $A_d^{(1)}(N)$ ситуация несколько сложнее. Здесь $d_L(A_d^{(1)}(N))$ при $N \rightarrow \infty$ также сходится к некоторому положительному пределу, а предел $\lambda_{\max}(A_d^{(1)}(N))$, по всей видимости, равен нулю. Это означает, что аттрактор $A^{(1)} = \lim_{N \rightarrow \infty} A_d^{(1)}(N)$ релаксационного типа в распределенной модели (19) при $d=0.002$ хотя и существует, но не является хаотическим (он становится хаотическим при меньших значениях d).

Рассмотрим теперь вопрос о зависимости характеристик d_L и λ_{\max} от параметра d при фиксированном N . Соответствующие численные эксперименты проводились при $N = 20, 50, 60$, а их результаты представлены на рис. 36 – 41 (в случае $N = 20$ значения d_L и λ_{\max} вычислялись на релаксационном хаосе, а в случае $N = 50, 60$ – на хаосе типа самоорганизации).

Приведенные графики свидетельствуют о том, что при согласованном уменьшении d и увеличении N в системе (21) возникают хаотические аттракторы сколь угодно высокой размерности. Точнее говоря, величины d_L и λ_{\max} , рассматриваемые как функции переменной d , достигают своих максимальных значений в одной и той же точке $d = d_N^*$, причем $d_L|_{d=d_N^*} \rightarrow \infty$, $\lambda_{\max}|_{d=d_N^*} \rightarrow \lambda_{\max}^0 > 0$ при $N \rightarrow \infty$. Ясно также, что неограниченный рост размерностей хаотических аттракторов происходит при $d \rightarrow 0$ и в исходной краевой задаче (19), поскольку, как уже отмечалось выше, при $N \rightarrow \infty$ и при фиксированном d аттракторы $A_d^{(1)}(N)$ и $A_d^{(2)}(N)$ сходятся к соответствующим аттракторам распределенной модели.

Суммируя проделанные построения, отметим, что для распределенной модели (19) с помощью численных методов удалось установить феномен диффузионного хаоса: неограниченный рост размерностей хаотических аттракторов при пропорциональном уменьшении коэффициентов диффузии. Попутно было обнаружено два типа хаотических автоколебаний – релаксационный хаос и хаос типа самоорганизации. Автоколебательные режимы первого типа по своим свойствам в определенном смысле близки к однородному циклу. В случае же хаоса типа самоорганизации функции $x(t, s)$, $y(t, s)$, $z(t, s)$ оказываются существенно более изрезанными по пространственной переменной s (см. рис. 33 – 35). Именно по этой причине режимы самоорганизации наблюдаются в системе (21) лишь при достаточно больших N .

Отметим также, что в отличие от уравнения Гинзбурга – Ландау, рассмотренного в предыдущем пункте, возникновение диффузионного хаоса в краевой задаче (19) не связано напрямую с потерей устойчивости однородного цикла. Более того, если

Рис. 36. $N = 20$ Рис. 37. $N = 20$ Рис. 38. $N = 50$ Рис. 39. $N = 50$ Рис. 40. $N = 60$ Рис. 41. $N = 60$

положить, например, в (20) $\alpha = 0$, сохранив значения остальных параметров, то этот цикл остается устойчивым при любом $d > 0$, а при малых d сосуществует с диффузионным хаосом.

4. Многомодовые хаотические аттракторы, реализующиеся в сценарии Ландау – Селла

В данном разделе с помощью численного анализа изучается вопрос об аттракторах краевой задачи

$$u_{tt} - a^2 u_{xx} + u + bu^5 = \frac{\partial}{\partial t}(\varepsilon u + \nu u_{xx}) - \int_0^1 (u_t)^2 dx \cdot u_t, \quad u|_{x=0} = u|_{x=1} = 0, \quad (22)$$

где a, b, ε, ν — произвольные положительные параметры, $u = u(t, x)$ — скалярная вещественная функция. Данная задача рассматривается при $\nu \rightarrow 0$ и при условии, что все остальные параметры имеют порядок единицы. Точнее говоря, всюду ниже считаем, что эти параметры фиксированы и заданы, к примеру, равенствами

$$\varepsilon = b = 10, \quad a^2 = 0.1. \quad (23)$$

В статье [18] установлено, что при согласованном стремлении параметров ε и ν к нулю в ней происходит развитие турбулентности по Ландау, а при $\varepsilon \sim 1, \nu \rightarrow 0$ реализуется сценарий Ландау – Селла.

Для описания соответствующего численного эксперимента сначала, полагая $u_t = v$, перейдем от уравнения второго порядка из (22) к системе

$$u_t = v, \quad v_t = \varepsilon v + \nu v_{xx} - \int_0^1 v^2 dx \cdot v + a^2 u_{xx} - u - bu^5, \quad u|_{x=0} = u|_{x=1} = v|_{x=0} = v|_{x=1} = 0. \quad (24)$$

Заменим, далее, в (24) частные производные по x и интегральное слагаемое приближенными равенствами

$$\begin{aligned} u_{xx}(t, x)|_{x=k/(N+1)} &\approx (N+1)^2(u_{k+1}(t) - 2u_k(t) + u_{k-1}(t)), \\ v_{xx}(t, x)|_{x=k/(N+1)} &\approx (N+1)^2(v_{k+1}(t) - 2v_k(t) + v_{k-1}(t)), \\ \int_0^1 v^2(t, x) dx &\approx \frac{1}{N+1} \sum_{k=1}^N v_k^2(t), \end{aligned}$$

где N — произвольно фиксированное натуральное число,

$$u_k(t) = u(t, x)|_{x=k/(N+1)}, \quad v_k(t) = v(t, x)|_{x=k/(N+1)}, \quad k = 1, \dots, N.$$

В результате для переменных u_k, v_k приходим к конечномерной модели вида

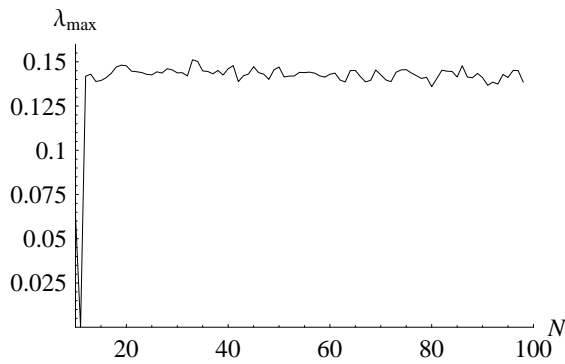
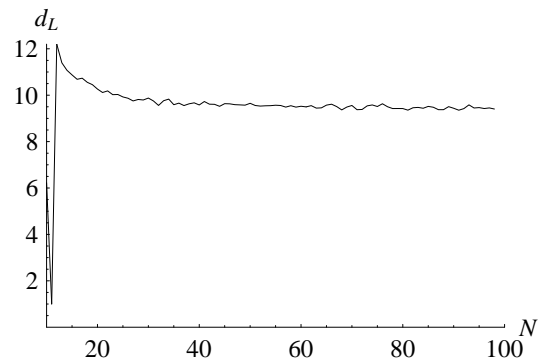
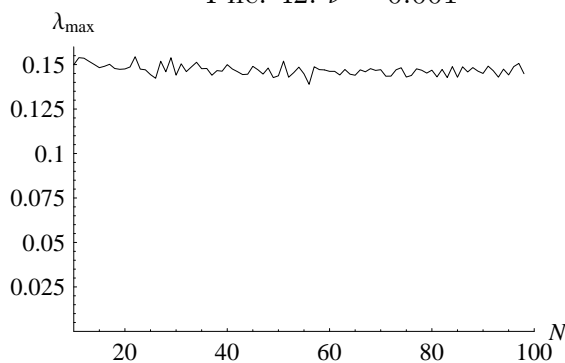
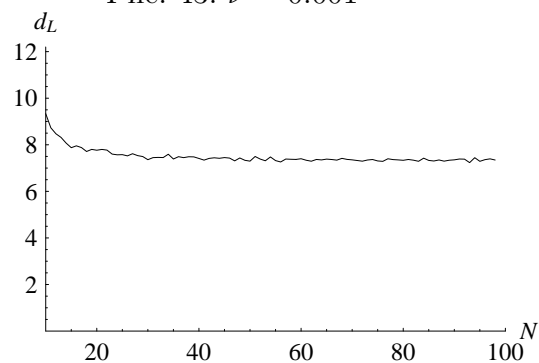
$$\begin{aligned} \dot{u}_k &= v_k, \\ \dot{v}_k &= \varepsilon v_k + \nu(N+1)^2(v_{k+1} - 2v_k + v_{k-1}) - \frac{v_k}{N+1} \sum_{m=1}^N v_m^2 + \\ &\quad + a^2(N+1)^2(u_{k+1} - 2u_k + u_{k-1}) - u_k - bu_k^5, \quad k = 1, \dots, N, \end{aligned} \quad (25)$$

где $u_0 = v_0 = u_{N+1} = v_{N+1} = 0$.

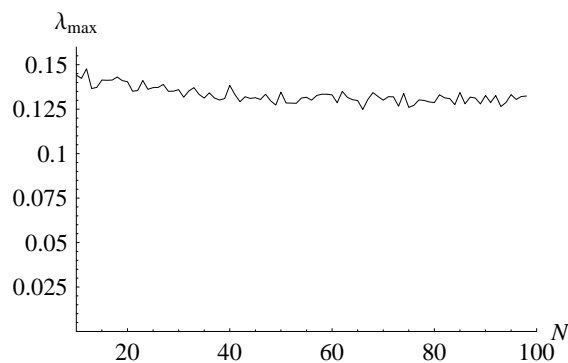
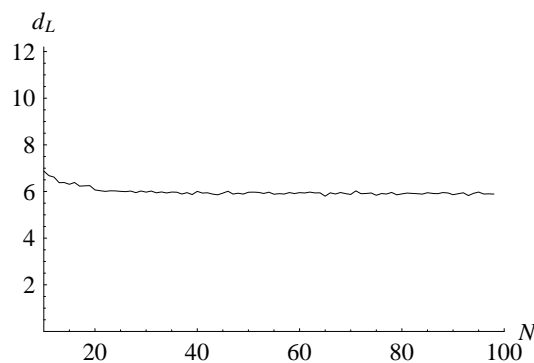
Компьютерный анализ модели (25) проводился при условиях (23) в диапазоне параметров $5 \leq N \leq 100$, $0 \leq \nu \leq 1.01$.

Опишем сначала бифуркации, происходящие на начальных стадиях сценария Ландау – Селла. Анализ конечномерных моделей (25) позволяет сделать вывод, что в исходной распределенной модели (22) при условиях (23) и при уменьшении ν наблюдаются следующие перестройки. При $\nu > 10/\pi^2$ устойчиво ее нулевое решение, а при прохождении ν через критическое значение $10/\pi^2$ из нуля рождается устойчивый цикл C (бифуркация Андронова – Хопфа). Далее, этот цикл сохраняет устойчивость при $\nu_* \lesssim \nu < 10/\pi^2$, где $\nu_* \approx 0.03272$, а при последующем уменьшении ν отдает ее бифурцирующему из него двумерному тору T .

Указанный тор, в свою очередь, существует и устойчив на промежутке $\nu_{**} \lesssim \nu < \nu_*$, где $\nu_{**} \approx 0.00812$, причем динамика на нем в некоторых случаях является периодической (например, она оказывается таковой при $\nu \in [0.00941, 0.00967]$). Что же касается хаотического аттрактора, то он впервые возникает в краевой задаче (22) при $\nu = \nu_{**}$ в результате разрушения тора T . Добавим еще, что наступлению стабильного хаоса, имеющего место при малых $\nu > 0$, предшествует некоторое количество промежутков изменения ν , в которых существуют устойчивые циклы.

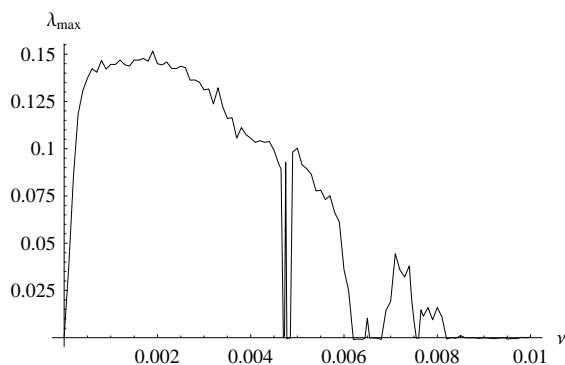
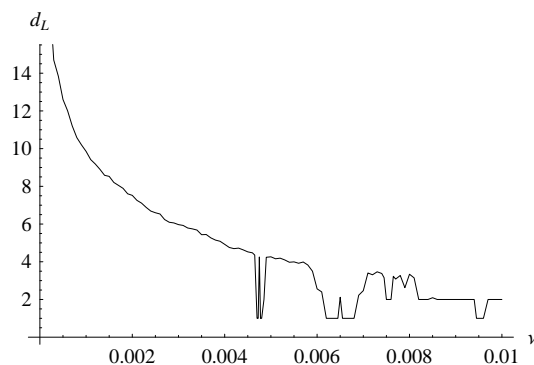
Рис. 42. $\nu = 0.001$ Рис. 43. $\nu = 0.001$ Рис. 44. $\nu = 0.002$ Рис. 45. $\nu = 0.002$

Обратимся к вопросу о поведении различных характеристик аттрактора $A_\nu(N)$ системы (25) при фиксированном $\nu \geq 0$ и при увеличении N . В статье [18] показано, что в случае $\nu = 0$ ляпуновская размерность d_L этого аттрактора при $N \rightarrow \infty$ неограниченно растет, а его старший ляпуновский показатель λ_{max} , наоборот, убывает и при $N \geq 25$ становится равным нулю. При этом на промежутке $5 \leq N \leq 23$

Рис. 46. $\nu = 0.003$ Рис. 47. $\nu = 0.003$

для d_L растет с ростом N практически по линейному закону $d_L \approx 1.028 + 1.509 \cdot N$ (в этом случае аттрактор $A_0(N)$ оказывается хаотическим). В случае же $N \geq 25$ множество $A_0(N)$ представляет собой $(2N - 3)$ -мерный инвариантный тор, движения на котором близки к квазипериодическим.

При малых $\nu > 0$ введенные выше величины d_L и λ_{max} с ростом N ведут себя несколько иначе. А именно, при $N \rightarrow \infty$ они стремятся к конечным положительным пределам. Об этом свидетельствуют рис. 42 – 47, где изображены графики λ_{max} и d_L от N для $\nu = 0.001, 0.002$ и 0.003 соответственно.

Рис. 48. $N = 30$ Рис. 49. $N = 30$

Приведенные результаты численного счета, а также вычисленная при $N = 30$ зависимость d_L и λ_{max} от ν (см. рис. 49, 48) позволяют утверждать, что турбулентный аттрактор A_{turb} является пределом при $\nu \rightarrow 0$ конечномерных хаотических аттракторов $A_\nu(N)$, ляпуновская размерность которых неограниченно растет. Это как раз и означает, что при условиях (23) и при уменьшении ν в краевой задаче (22) наблюдается сценарий развития турбулентности Ландау – Селла.

Дополнительным аргументом в пользу реализуемости упомянутого сценария служат результаты вычислений, представленные на рис. 46, 47. На этих рисунках показаны графики зависимости от ν величин d_L и λ_{max} аттрактора $A_\nu(N)$ системы (25) при $N = 30$, построенные на отрезке $0.005 \leq \nu \leq 0.01$ по точкам с шагом 0.0001.

Основной вывод, который можно сделать на основе обширного вычислительного эксперимента, представленного в статье, состоит в том, что нами получен класс динамических систем, обладающих так называемым многомодовым диффузионным аттрактором. Основное свойство этого аттрактора заключается в его все большем усложнении (увеличении ляпуновской размерности) при уменьшении диффузионного коэффициента. Удалось показать, что нарастание размерности связано в основном с усложнением структуры аттрактора по пространственной переменной.

Список литературы

1. *Nicolis G., Prigogine I.* Self-Organization in Non-Equilibrium Systems. Wiley. 1977.
2. *Ахромеева Т.С., Курдюмов С.П., Малинецкий Г.Г., Самарский А.А.* Структуры и хаос в нелинейных средах. М.: Физматлит, 2007. (*Ahromeeva T.S., Kurdyumov S.P., Malinetskiy G.G., Samarskiy A.A.* Struktury i khaos v nelineynykh sredakh. Moskva: Fizmatlit, 2007 [in Russian].)
3. *Мищенко Е.Ф., Садовничий В.А., Колесов А.Ю., Розов Н.Х.* Автоволновые процессы в нелинейных средах с диффузией. М.: Физматлит, 2005. (*Mishchenko E.F., Sadovnichiy V.A., Kolesov A.Yu., Rozov N.Kh.* Avtovolnovye protsessy v nelineynykh sredakh s diffuziey. Moskva: Fizmatlit, 2005 [in Russian].)
4. *Lorenz E.N.* Deterministic nonperiodic flow // J. Atmos. Sci. 1963. V. 20. P. 130–141.
5. *Ruelle D., Takens F.* On the nature of turbulence // Comm. Math. Phys. 1971. V. 20. P. 167–192.
6. *Kuramoto Y.* Diffusion-Induced Chaos in Reaction Systems // Prog. Theor. Phys. Supplement. 1978. No. 64(1978). P. 346–367. DOI : 10.1143/PTPS.64.346.
7. *Глызин С.Д.* Сценарии фазовых перестроек одной конечноразностной модели уравнения «реакция-диффузия» // Дифференциальные уравнения. 1997. Т. 33, № 6. С. 805–811. (English transl.: *Glyzin S. D.* Dynamic properties of the simplest finite-difference approximations of the "reaction-diffusion" boundary value problem // Differential Equations. 1997. V. 33. No. 6. P. 808–814.)
8. *Колесов А.Ю.* Описание фазовой неустойчивости системы гармонических осцилляторов, слабо связанных через диффузию // Докл. АН СССР. 1988. Т. 300, № 1. С. 831–835. (English transl.: *Kolesov A. Yu.* Description of Phase Instability of a System of Harmonic Oscillators Weakly Coupled by Diffusion // Dokl. Akad. Nauk SSSR. 1988. V. 300. P. 831 – 835.)
9. *Глызин С.Д.* Численное обоснование гипотезы Ландау – Колесова о природе турбулентности // Математические модели в биологии и медицине / Ин-т математики и кибернетики АН Лит. ССР. Вильнюс, 1989. Вып. 3. С. 31–36. (*Glyzin S. D.* Numerical Justification of the Landau-Kolesov Conjecture on the Nature of Turbulence // Mathematical models in biology and medicine. 1989. No. 3. P. 31 – 36 [in Russian].)
10. *Глызин С.Д.* Разностные аппроксимации уравнения «реакция-диффузия» на отрезке // Моделирование и анализ информационных систем. 2009. Т. 16, № 3. С. 96 – 116. (*Glyzin S. D.* Difference approximations of "reaction – diffusion" equation on a segment // Modeling and Analysis of Information Systems. 2009. V. 16, No 3. P. 96 – 116 [in Russian].)

11. Гапонов-Грехов А. В., Рабинович М. И. Автоструктуры. Хаотическая динамика ансамблей // Нелинейные волны. Структуры и бифуркации. М.: Наука, 1987. С. 7 – 44. (Gaponov-Grekhov A. V., Rabinovich M. I. Autostructures: chaotic dynamics of ensembles // Nonlinear Waves. Structure and Bifurcations. Moskva, Nauka, 1987. P. 7 – 44 [in Russian].)
12. Глызин С. Д., Колесов А. Ю., Розов Н. Х. Конечномерные модели диффузионного хаоса // Журнал вычислительной математики и математической физики. 2010. Т. 50, № 5. С. 860 – 875. (English transl.: Glyzin S. D., Kolesov A. Yu., and Rozov N. Kh. Finite-dimensional models of diffusion chaos // Computational Mathematics and Mathematical Physics. 2010. V. 50. No 5. P. 816 – 830. DOI: 10.1134/S0965542510050076.)
13. Колесов Ю. С. Проблема адекватности экологических уравнений. Ярославль, 1985. Деп. ВИНТИ. 1985. № 1901-85. (Kolesov Yu. S. Adequacy of Ecological Equations. Available from VINITI, No. 1901–85 (Yaroslavl, 1985) [in Russian].)
14. Колесов А. Ю., Розов Н. Х. К вопросу об определении хаоса // Успехи математических наук. 2009. Т. 64. Вып. 4(388). С. 125 – 172. (English transl.: Kolesov A. Yu.; Rozov N. Kh. On the definition of chaos // Russian Math. Surveys. 2009. V. 64. No. 4. P. 701–744.)
15. Frederickson P., Kaplan J., Yorke J. The Lyapunov dimension of strange attractors // J. Different. Equat. 1983. V. 49. №2. P. 185 – 207.
16. Колесов А. Ю., Розов Н. Х., Садовничий В. А. Математические аспекты теории развития турбулентности по Ландау // Успехи математических наук. 2008. Т. 63, № 2(380). С. 21 – 84. (English transl.: Kolesov A. Yu., Rozov N. Kh., Sadovnichii V. A. Mathematical aspects of the theory of development of turbulence in the sense of Landau // Russian Math. Surveys. 2008. V. 63. No 2. P. 246–251.)
17. Arnold V. I., Khesin B. A. Topological Methods in Hydrodynamics. Springer, 1999. 391 p.
18. Глызин С. Д., Колесов А. Ю., Розов Н. Х. К вопросу о реализуемости сценария развития турбулентности по Ландау // Теоретическая и математическая физика. 2009. Т. 158, № 2. С. 292 – 311. (English transl.: Glyzin S. D., Kolesov A. Yu., and Rozov N. Kh. On the Realizability of the Landau Scenario for the Development of Turbulence // Theoretical and Mathematical Physics. 2009. V. 427. P. 292–311.)
19. Dormand J. R., Prince P. J. A Family of Embedded Runge – Kutta Formulae // J. Comp. Appl. Math. 1980. V. 6. P. 19 – 26.
20. Benettin G., Galgani L., Strelcyn J. M. Kolmogorov entropy and numerical experiments // Phys. Rev. 1976. V. A14. P. 2338 – 2345.
21. Wolf A., Swift J. B., Swinney H. L., Vastano J. A. Determining Lyapunov exponents from a time series // Physica D. 1985. V. D16. P. 285–317.
22. Глызин Д. С., Глызин С. Д., Колесов А. Ю., Розов Н. Х. Метод динамической перенормировки для нахождения максимального ляпуновского показателя хаотического аттрактора // Дифференциальные уравнения. 2005. Т. 41, № 2. С. 268 – 273. (English transl.: Glyzin D. S., Glyzin S. D., Kolesov A. Yu., and Rozov N. Kh. The Dynamic Renormalization Method for Finding the Maximum Lyapunov Exponent of a Chaotic Attractor // Differential Equations. 2005. V. 41. No. 2. P. 284–289.)

23. Глызин С. Д., Колесов А. Ю., Розов Н. Х. Релаксационные колебания и диффузионный хаос в реакции Белоусова // Журнал вычислительной математики и математической физики. 2011. Т. 51, № 8. С. 1400 – 1418. (English transl.: Glyzin S.D., Glyzin S.D., Kolesov A.Yu., and Rozov N.Kh. Relaxation oscillations and diffusion chaos in the Belousov reaction // Computational Mathematics and Mathematical Physics. 2011. V. 51. No 8. P. 1307–1324. DOI: 10.1134/S0965542511080100
24. Колесов А.Ю., Колесов Ю.С., Майоров В.В. Реакция Белоусова: математическая модель и экспериментальные факты // Динамика биологических популяций. Горький: ГГУ, 1987. С. 43 – 51. (Kolesov A.Yu., Kolesov Yu.S., Mayorov V.V. The Belousov Reaction: a Mathematical Model and Experimental Facts // Dynamics of Biological Populations, GGU, Gorki, 1987. P. 43- 51 [in Russian].)
25. Milnor J. On the concept of attractor // Commun. Math. Phys. 1985. V. 99. №2. P. 177 – 196.

Dimensional Characteristics of Diffusion Chaos

Glyzin S. D.

*P.G. Demidov Yaroslavl State University,
Sovetskaya str., 14, Yaroslavl, 150000, Russia*

Keywords: diffusion chaos, attractor, Lyapunov dimension, Ginzburg – Landau equation, bifurcation, Landau – Sell scenario

The phenomenon of multimode diffusion chaos is considered. For a number of examples it is shown that the Lyapunov dimension of the attractor of a distributed dynamical system increases as the diffusion coefficient tends to 0.

Сведения об авторе:

Глызин Сергей Дмитриевич,

Ярославский государственный университет им. П.Г. Демидова,
д-р физ.-мат. наук, зав. кафедрой компьютерных сетей